

Original article

Application of Modified Red Mud for Adsorption of Acid Orange 7 (AO7) Dye from Aqueous Solution: Isotherms, Kinetics Studies

Zazouli MA¹
Belarek D^{2*}
Mahdavi Y²

- 1- Associate Professor, Faculty Member, Department of Environmental Health Engineering, Health Sciences Research Center, Mazandaran University of Medical Sciences, Sari, Iran
- 2- Department of Environmental Health Engineering, Health Promotion Research Center, School of Public Health, Zahedan University of Medical Sciences, Zahedan, Iran
- 3- MSc Student, Department of Environmental Health, Student Research Committee, Mazandaran University of Medical Sciences, Sari, Iran

*Corresponding author: Davod Belarek, Department of Environmental Health Engineering, Health Promotion Research Center, School of Public Health, Zahedan University of Medical Sciences, Zahedan, Iran

Email: Dbalarak2@gmail.com

Received: 10 February 2015

Accepted: 30 July 2015

ABSTRACT

Introduction and purpose: One of the problems concerning industrial effluent, particularly those of textile industries, is the existence of dye. Therefore, it is mandatory to treat these effluents before being discharged to the environment. This study aims to evaluate the adsorption rate of acid orange (AO7) from aqueous solution by activated red mud.

Methods: In this empirical laboratory study, we used red mud as an adsorbent to remove acid orange 7 dye. The effect of various parameters on performance of adsorbent was investigated, and the isotherms and kinetics of adsorption were determined. The dye concentration was measured at wavelength of 452 nm by a spectrophotometer.

Results: Red mud surface area was 30 mg/g, and dye removal was the highest at a solution pH of 3 and an adsorbent powder dose of 12 g/L. The AO7 removal percentage decreased by 43% in a 60-minute contact time, while the dye concentration increased from 10 mg/L to 100 mg/L. The adsorption study highly correlated with the Langmuir isotherm and the second order kinetic models.

Conclusion: The results of this study showed that red mud has a good ability to adsorb dye and can be used as an efficient and cost-effective adsorbent for treating textile industry effluent.

Keywords: Adsorption, Acid orange 7, Red mud, Textile wastewater

► **Citation:** Zazouli MA, Belarek D, Mahdavi Y. Application of Modified Red Mud for Adsorption of Acid Orange 7 (AO7) Dye from Aqueous Solution: Isotherms, Kinetics Studies. Journal of Health Research in Community. Summer 2015;1(2): 1-11.

مقاله پژوهشی

کاربرد گل قرمز فعال شده برای جذب رنگ زای اسید اورنج ۷ از محلول های آبی: مطالعات ایزوترمی، سینتیک

چکیده

محمد علی ززولی^۱داود بلارک^{۲*}یوسف مهدوی^۲

۱. دانشیار، گروه مهندسی بهداشت محیط، مرکز تحقیقات علوم بهداشتی، دانشکده بهداشت، دانشگاه علوم پزشکی

مازندران، ساری، ایران

۲. دانشجوی کارشناسی ارشد مهندسی بهداشت محیط، کمیته تحقیقات دانشجویی دانشگاه علوم پزشکی مازندران، ساری، ایران

* نویسنده مسئول: داود بلارک، دانشجوی کارشناسی ارشد

مهندسی بهداشت محیط، کمیته تحقیقات دانشجویی دانشگاه علوم پزشکی مازندران

Email: Dbalarak2@gmail.com

تاریخ دریافت: ۱۳۹۳/۱۱/۲۱

تاریخ پذیرش: ۱۳۹۴/۵/۸

مقدمه و هدف: یکی از مشکلات پساب های صنعتی از جمله نساجی، وجود رنگ می باشد. بنابراین لازم است این گونه پساب ها، قبل از تخلیه به محیط تصفیه شوند. لذا هدف از این تحقیق بررسی جذب رنگ اسید اورنج ۷ از محیط های آبی با استفاده از گل قرمز فعال شده می باشد.

روش کار: این مطالعه از نوع مطالعه تجربی- آزمایشگاهی است. از گل قرمز به عنوان جاذب جهت حذف رنگ اسید اورنج ۷ استفاده شده است. در این مطالعه تأثیر پارامترهای مختلف بر عملکرد جاذب بررسی شد و ایزوترم و سنتیک های جذب تعیین و غلظت رنگ به روش اسپکتروفتومتری در طول موج ۴۵۲ نانومتر اندازه گیری گردید.

یافته ها: سطح ویژه جاذب، ۳۰ میلی گرم بر گرم می باشد. حداکثر حذف رنگ در PH برابر با ۳ و دز جاذب ۱۲ گرم در لیتر بوده که با افزایش غلظت رنگ از ۱۰ به ۱۰۰ میلی گرم در لیتر، کارایی حذف رنگ در زمان تماس ۶۰ دقیقه از حدود ۹۸ درصد به ۵۵ درصد کاهش یافته است. نتایج مطالعه، جذب بیشترین همبستگی را با مدل لانگمیر و سینتیک درجه دو نشان داده است.

نتیجه گیری: نتایج این مطالعه نشان می دهد گل قرمز قابلیت خوبی در جذب رنگ دارد و می تواند از آن به عنوان یک جاذب مؤثر و ارزان قیمت، جهت تصفیه پساب صنایع نساجی استفاده کرد.

کلمات کلیدی: گل قرمز، رنگ اسید اورنج ۷، پساب نساجی، جذب سطحی

◀ **استناد:** ززولی، محمد علی؛ بلارک، داوود؛ مهدوی، یوسف. کاربرد گل قرمز فعال شده برای جذب رنگ زای اسید اورنج ۷ از محلول های آبی: مطالعات ایزوترمی، سینتیک. مجله تحقیقات سلامت در جامعه، تابستان ۱۳۹۴؛ ۱۱(۲): ۱-۱۱.

مقدمه

فتالوسیانینو تری آریلن اتان، اسیدی و بازی هستند [۳]. در حال حاضر، حدود ۱۰۰ هزار نوع رنگ مختلف در سراسر دنیا تولید می شود که میزان تولید سالانه آن حدود ۷۰۰ هزار تا ۱ میلیون تن می باشد [۴].

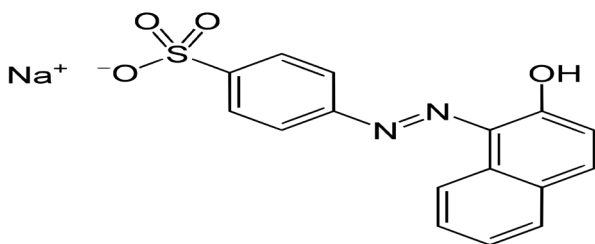
صنایع نساجی یکی از بزرگترین واحدهای تولید کننده رنگ

رنگ ها ترکیبات آلی آروماتیک هستند که نور را در طول موج ۳۵۰ تا ۷۰۰ نانومتر جذب می کنند [۱]. بر اساس ساختار شیمیایی یا کروموفور، رنگ ها به ۳۰-۲۰ گروه تقسیم می شوند [۲]. مهمترین گروه رنگ ها، گروه های آزو، آنتراکویینن،

ماده زائد فرآیند بایر (Bayer) طی تهیه آلومینا می‌باشد [۱۷]. سنگ بوکسیت دارای مقدار زیادی هیدروکسید آلومینیوم است؛ لذا طی فرآیند بایر، از آن در تولید آلومینا (Al_2O_3) استفاده می‌شود [۱۸]. این فرآیند بر مبنای واکنش هیدروکسید سدیم، تحت گرما و فشار بابوکسیت است که ماده زائد حاصل از این واکنش، گل قرمز می‌باشد [۱۹]. گل قرمز مخلوطی از اکسید و هیدروکسیدهای مختلف است [۲۰]. طی مطالعات انجام شده، تخمین زده شده است که تولید یک تن آلومینا باعث تولید ۱ تا ۲ تن گل قرمز خواهد شد [۲۱، ۲۲]. با عنایت به فراوانی مواد طبیعی، مطالعات گوناگونی در زمینه حذف آلاینده‌های آلی و غیرآلی انجام شده است که در این زمینه می‌توان به حذف فلزات سنگین [۲۳]، ترکیبات آلی چون رنگ [۸، ۲۴] و ترکیبات فنل [۲۵] اشاره کرد. با توجه به بررسی منابع علمی مشخص شده که تاکنون در زمینه جذب اسید اورنج ۷ با بهره‌گیری از مواد طبیعی مطالعه‌ای صورت نگرفته است. بنابراین هدف اصلی این تحقیق بررسی زمان تماس، PH، غلظت اولیه اسید اورنج ۷، دز جاذب بر روی کارایی حذف اسید اورنج ۷ و تعیین بهترین مدل ایزوترمی و ستیکی جذب سطحی بوده است.

روش کار

مشخصات رنگ: رنگ اسید اورنج ۷ با فرمول شیمیایی $C_{16}H_{11}N_2NaO_5S$ از نوع رنگهای آزو و با درجه خلوص ۹۹ درصد و وزن مولکولی ۳۵۰/۳۲ گرم در مول می‌باشد؛ ساختار



شکل ۱: ساختار شیمیایی رنگ اسید اورنج ۷

هستند [۵]. طبق تحقیقات صورت گرفته، حدود ۵۰ درصد از رنگ های مصرفی در صنایع تبدیل به فاضلاب می‌شود [۶]. غلظت رنگ ها در خروجی پساب صنایع حدود ۱۰ تا ۲۰۰ میلی گرم در لیتر می‌باشد [۷]. رنگ‌های آزو از پر مصرف ترین رنگ ها در صنایع نساجی به شمار رفته و معمولاً جهت رنگ آمیزی نخ، پشم و الیاف پلی آمید به کار می‌روند [۸]. مواد رنگ‌زا، عمدتاً دارای یک یا چند حلقه بنزنی بوده که به دلیل سمی بودن و دیر تجزیه شدن، چنانچه بدون تصفیه وارد محیط شوند، می‌توانند صدمات جبران ناپذیری به محیط زیست وارد کنند؛ بنابراین لازم است این گونه پساب‌ها پیش از تخلیه در محیط زیست، با استفاده از روش های مناسب تصفیه شوند [۹].

تاکنون روش‌های مختلفی از جمله روش‌های بیولوژیک، فرایندهای غشایی، فرایندهای اکسیداسیون پیشرفته و سایر روش‌ها، جهت تصفیه این نوع پساب‌ها به کار رفته است [۱۰]. حلالیت بالای رنگ‌ها در محیط آبی، امکان حذف آنها را با فرایندهای متداولی چون انعقاد و ته نشینی مشکل می‌کند [۱۱]. اکثر مطالعاتی که در زمینه حذف رنگ صورت گرفته، بر پایه فرایندهای اکسیداسیون پیشرفت های است که علیرغم درصد بالای حذف رنگ در این فرآیندها، تشکیل محصولات جانبی و هزینه آنها مشکلی بزرگ محسوب می‌گردد [۱۲]. جذب سطحی نیز یکی از معمول ترین روش های حذف رنگ است و اغلب، جاذب مورد استفاده در آن، کربن فعال می‌باشد [۱۳] که بسیار گران قیمت بوده و کاربرد آن نیاز به نیروی متخصص دارد [۱۴]. بنابراین استفاده از جاذب های ارزان قیمت و طبیعی به جای کربن فعال تجاری، با عنایت محققان مواجه شده است. امروزه، برخی محققان از جاذب‌های طبیعی از جمله چیتسون، بیومس آزولا، خاکستر فرار، هسته هلو و زیتون و زغال چوب جهت حذف آلاینده های آلی و غیرآلی استفاده می‌کنند [۱۵، ۱۶].

یکی از جاذب‌های ارزان قیمت که در تصفیه انواع پساب‌ها مورد توجه قرار گرفته است گل قرمز می‌باشد. گل قرمز مهمترین

جدول ۲: معادلات و فرم خطی سینتیک های مورد بررسی [۳۳،۳۴]

فرم خطی	معادله	نوع سینتیک
$\text{Log}(q_e - q) = \log q_e - \frac{k_1 t}{2.3}$	$\frac{dq_t}{dt} = k_1 (q_e - q_t)$	درجه اول کاذب
$\frac{t}{q} = \frac{1}{k_2 q_e^2} + \frac{t}{q_e}$	$\frac{dq_t}{dt} = k_2 (q_e - q_t)^2$	درجه دوم
$q_e = \left(\frac{1}{\beta}\right) \ln(\alpha\beta) + \left(\frac{1}{\beta}\right) \ln t$	$\frac{dq_t}{dt} = \alpha \exp(-\beta q_t)$	ایلوویج
$q_t = k_{dif} t^{0.5} + c$	-----	پخش بین ذره ای

جدول ۱: معادلات ایزوترمی [۳۱،۳۲]

مدل	معادله
لانگمیر	$\frac{c_e}{q_e} = \frac{1}{q_m KL} + \frac{c_e}{q_m}$
مدل فروندلیخ	$\text{Log } q_e = \frac{1}{n} \log C_e + \log K_F$
مدل تکمین	$q_e = B_1 \ln(k_1) + B_2 \ln(C_e)$
مدل بت	$\frac{c_e}{(c_i - c_e)q} = \frac{1}{A(q_m)} + \frac{A-1}{Aq_m}$

و انرژی کرج تعیین شده است. خصوصیات ظاهری گل قرمز با استفاده از میکروسکوپ الکترونی (SEM) مدل Philips صورت پذیرفت. روش آنالیز: کلیه غلظت های اندازه گیری رنگ، مطابق با حداکثر طول موج اندازه گیری شد که با استفاده از دستگاه اسپکتروفتومتری DR۲۸۰۰ جهت رنگ اسید اورنج ۷، ۴۵۲ نانومتر به دست آمد [۲۷]. برای تنظیم PH از محلول یک دهم نرمال HCl یا NaOH استفاده شده است.

آزمایشات جذب در ستون ناپیوسته: این مطالعه به صورت تجربی و در مقیاس آزمایشگاهی انجام شده است. مطالعات منابع علمی نشان داده است که مهمترین متغیرهای مؤثر بر جذب، شامل محلول، دز جذب، زمان تماس و غلظت رنگ می باشد [۲۸]. غلظت های اولیه رنگ، ۱۰۰-۱۰ میلی گرم در لیتر انتخاب شده است. اثر PH در گستره ۱۱-۳، زمان ماند ۱۸۰-۱۰ دقیقه و دوز جذب در گستره ۰/۲ تا ۱/۶ گرم در ۱۰۰ میلی لیتر - با توجه به مطالعات قبلی - انتخاب شد و در مراحل جداگانه در طول تحقیق بررسی گردید. به منظور تعیین زمان تماس بر میزان ظرفیت جذب، مقدار ۱۲ گرم جذب در ۱۰۰ میلی لیتر، محلول رنگ با غلظت ۱۰ میلی گرم در لیتر و PH برابر با ۳ مخلوط شد؛ سپس نمونه ها بر روی شیکر گذاشته و سرعت اختلاط آن ۱۸۰ دور در دقیقه تنظیم گردید؛ همچنین در زمان تماس های مختلف، نمونه از روی شیکر برداشته و با ۳۶۰۰ دور در دقیقه به مدت ۱۵ دقیقه سانتریفوژ شد. نمونه صاف شده، جهت سنجش مقدار رنگ باقی مانده مورد سنجش قرار گرفت. به

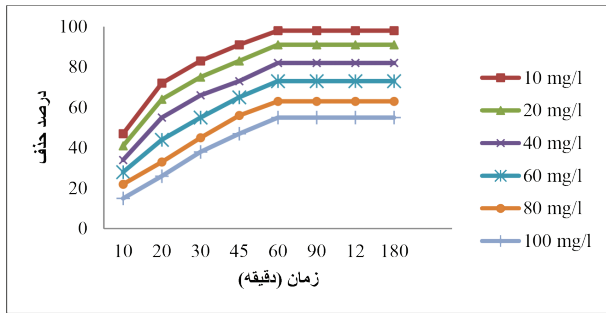
اسید اورنج ۷ در شکل ۱ مشاهده می شود [۲۶]. این رنگ از شرکت الوان ثابت تهیه شده است.

روش آماده سازی جاذب: ابتدا گل قرمز از شرکت آلومینیوم تبریز تهیه شد؛ سپس جهت فعال سازی آن، به ازای هر ۱۰ گرم گل قرمز از ۲۰ میلی لیتر اسید نیتریک ۱ نرمال به مدت ۲۴ ساعت استفاده گردید؛ جهت از بین بردن اسید، با آب مقطر دو بار تقطیر و سه بار شسته شد و در نهایت در دمای ۱۰۳ درجه سانتی گراد به مدت ۶ ساعت خشک شد. پس از این مرحله، گل قرمز به دست آمده، در هاون آسیاب گردید و با استفاده از الک ۳۰ مش جدا و آماده جهت استفاده شد [۸].

مشخصات جاذب: سطح ویژه و حجم تخلخل های بسته جاذب ها، با کمک آزمایش BET با دستگاه Gemini ۲۳۷۵ شرکت Micromeritics آمریکا و چگالی ذرات با دستگاه پیکنومتر AccuPyc ۱۳۳۰ همان شرکت و در پژوهشگاه مواد

جدول ۳: خصوصیات جاذب

پارامتر	مقدار
سطح ویژه (m ² /g)	۳۰
سطح ویژه تک نقطه ای (m ² /g)	۳۴/۵
چگالی (g/cm ³)	۲/۱۷
رطوبت (%)	ناچیز
اندازه ذرات (mm)	۱/۲ - ۱/۴
حجم تخلخل (cm ³ /g)	۰/۲۴۱

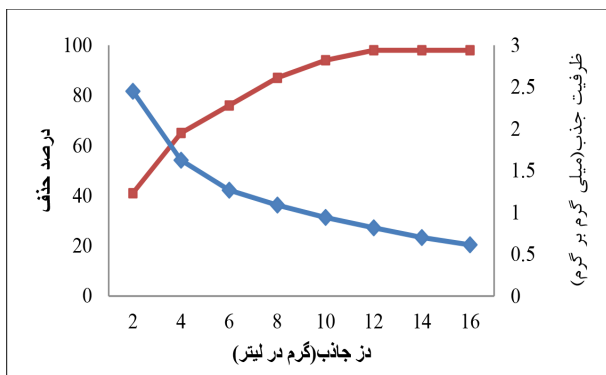


نمودار ۱: تأثیر زمان تماس و غلظت اولیه رنگ بر روی کارایی حذف (PH=۳ و زمان تماس ۶۰ دقیقه)

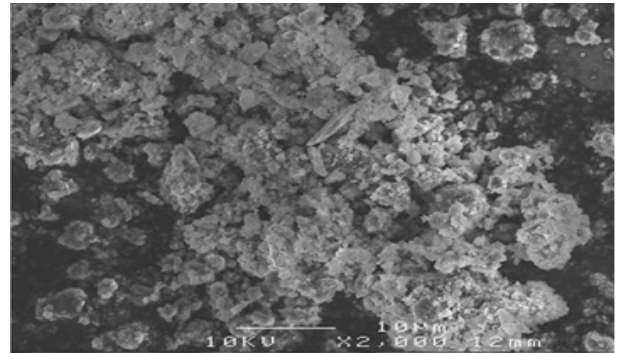
بعد از به دست آوردن زمان تعادل از طریق انجام آزمایش سینتیکی اولیه، امکان انجام آزمایشهای تعادلی عملیات جذب فراهم خواهد شد. داده‌های حاصل از آزمایش‌های تعادلی، معمولاً تحت عنوان ایزوترم‌های جذب شناخته می‌شوند. معادلات مربوط به ایزوترم‌ها در جدول ۱ آمده است. با توجه به نتایج به دست آمده از آزمایش‌های ناپیوسته سنتیک فرآیند جذب، ایزوترم‌های جذب و ظرفیت جذب تعیین گردید. جهت تعیین ظرفیت جذب و راندمان حذف نیز از رابطه زیر استفاده شده است [۲۹، ۳۰].

$$R = \frac{(C_0 - C_e) \times 100}{C_0}$$

$$q_e = \frac{(C_0 - C_e) \times V}{M}$$



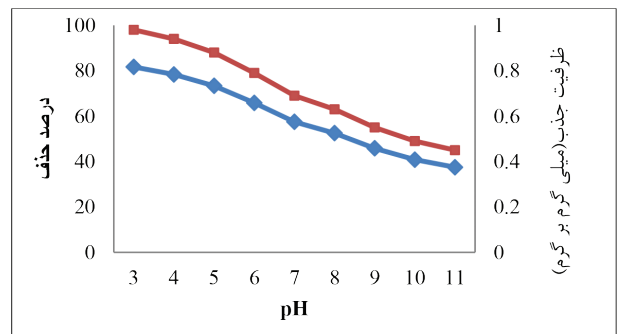
نمودار ۳: تأثیر دز جاذب بر روی کارایی حذف رنگ اسید اورنج ۷ (غلظت رنگ ۱۰ میلی گرم در لیتر، PH=۳ و زمان تماس ۶۰ دقیقه)



شکل ۲: عکس SEM گل قرمز فعال شده

منظور تعیین اثر PH در عملکرد جاذب، مقدار ۱۲ گرم جاذب در ۱۰۰ میلی لیتر محلول رنگ با غلظت ۱۰ میلی گرم در لیتر به مدت ۶۰ دقیقه در PH مختلف بر روی شیکر قرار داده شد. جهت بررسی اثر غلظت اولیه رنگ، میزان دز جاذب ۱۲ گرم در ۱۰۰ میلی لیتر طی مدت ۶۰ دقیقه و در PH برابر با ۳ در تماس با محلول‌های مختلف رنگ قرار گرفت. تمام مراحل آزمایش جهت حصول اطمینان از صحت و دقت نتایج، در دو مرحله انجام شده است. بعد از اتمام آزمایشات برای تمامی داده‌های به دست آمده، سطحی معنی دار و ضریب رگرسیون با نرم افزار SPSS 18 محاسبه شد.

معادلات ایزوترمی: به منظور بررسی اثر جرم ماده جاذب بر حذف رنگ اسید اورنج ۷ در جهت استخراج ایزوترم‌های جذب،



نمودار ۲: تأثیر PH بر روی کارایی حذف رنگ اسید اورنج ۷ (غلظت رنگ: ۱۰ میلی گرم در لیتر، دز جاذب ۱۲ گرم در لیتر و زمان اختلاط ۶۰ دقیقه)

در این رابطه R راندمان qe ظرفیت جذب بر حسب میلی گرم به ازای هر گرم جاذب، C_e غلظت اولیه رنگ اسید اورنج ۷ بر حسب میلی گرم در لیتر، C₀ غلظت رنگ اسید اورنج ۷ در زمان t بر حسب میلی گرم در لیتر، M جرم جاذب بر حسب گرم و V حجم نمونه بر حسب لیتر می باشد.

یافته ها

مشخصات جاذب در جدول ۳ آمده است. گل قرمز فعال شده دارای سطح ویژه ۳۰ متر مربع در هر گرم می باشد که این امر نشان می دهد جاذب دارای سطح خوبی برای جذب می باشد. حجم کل تخلخل جاذب برابر با ۰/۲۴۱ سانتیمتر مکعب بر گرم می باشد. میکروگراف SEM بیومس تولیدی در شکل ۲ آمده است؛ مطابق با آن چه که در تصاویر SEM مشخص شده است، جاذب های تهیه شده دارای تخلخل بسیار بالا و سطح ناهمگن می باشند.

تأثیر زمان تماس و تأثیر غلظت اولیه رنگ: تأثیر زمان تماس و غلظت اولیه رنگ بر روی کارایی حذف رنگ در نمودار ۱ نشان داده شده است؛ همان گونه که مشاهده می شود با افزایش زمان تماس تا ۶۰ دقیقه میزان حذف رنگ افزایش می یابد؛ به نحوی که میزان حذف در دقیقه ۱۰ برابر با ۴۷ درصد و در نمونه ۶۰ دقیقه ای برابر با ۹۸ درصد می باشد؛ ولی با افزایش زمان تماس از ۶۰ دقیقه میزان حذف تقریباً ثابت می باشد. از این رو زمان تماس ۶۰ دقیقه به عنوان زمان تماس بهینه خوانده می شود. همچنین با افزایش غلظت از ۱۰ به ۱۰۰ میلی گرم در لیتر، کارایی حذف از ۹۸ درصد به ۵۵ درصد کاهش یافت و غلظت ۱۰ میلی گرم در لیتر به عنوان غلظت بهینه انتخاب شد. آنالیز داده ها با استفاده از رگرسیون خطی به طور معنی داری نشان می دهد که با افزایش یک واحد زمان تماس، درصد حذف برای جاذب به اندازه ۰/۰۳۷ افزایش می یابد ($p \leq 0/001$). همچنین آنالیز داده ها با استفاده از رگرسیون خطی به طور معنی داری نشان داده است که با افزایش

جدول ۴: پارامترهای محاسبه شده برای مدل های ایزوترمی

نوع ایزوترم	پارامتر ایزوترم	غلظت رنگ (میلی گرم در لیتر)	
		۲۰	۴۰
	N	۲/۸	۳/۱
فروندلیج	K _T (L/ mg)	۱/۳۴	۱/۲۵
	R ²	۰/۹۸۶	۰/۹۷۱
لانگمیر	K _L (l/mg)	۰/۰۱۹	۰/۰۲۵
	R ²	۰/۹۹۹	۰/۹۹۶
تکمین	q _m (mg/g)	۱۴/۲	۲۱/۱
	K _T (L/g)	۴/۸	۴/۳۵
بت	B ₁	۴/۲	۳/۶
	R ²	۰/۹۴۱	۰/۹۱۸
بخش بین ذره ای	A	۵۸/۴	۶۴/۴
	R ²	۰/۹۶۴	۰/۹۴۲
	q _m (mg/g)	۲۱/۳	۲۸/۲

جدول ۵: نتایج حاصل از بررسی سینتیک های مورد مطالعه

نوع سینتیک	پارامتر سینتیک	غلظت رنگ (میلی گرم در لیتر)	
		۲۰	۴۰
درجه اول	K ₁ (min-1)	۰/۸۳	۰/۷۹
	q _e (mg/g)	۳/۴	۸/۸
درجه دوم	R ²	۰/۹۲۱	۰/۹۵۳
	K ₂ (g mg -1 min-1)	۰/۰۰۳۷	۰/۰۰۲۹
ایلوویج	q _e (mg/g)	۴/۲۱	۷/۳۸
	R ²	۰/۹۹۹	۰/۹۹۲
بخش بین ذره ای	a (mg/g min)	۳/۲	۵/۱
	β (g/mg)	۰/۲۴	۰/۱۹
	R ²	۰/۹۴	۰/۹۵۶
	K _{diff} (mg/g min ^{1/2})	۰/۷۶	۱/۲۴
	C	۴/۳۵	۷/۶
	R ²	۰/۸۶	۰/۹۱۲

گسترده مطالعه شده است. در این پژوهش، کارآیی جذب رنگ اسید اورنج ۷ توسط جاذب گل قرمز فعال شده بررسی و ارزیابی گردید. نتایج آزمایش SEM بیانگر این است که ذرات جاذب، دارای ساختار غیر متبلور بوده و دارای خلل و فرج و سطوح مناسب برای جذب است؛ به عبارت دیگر سطح جاذب ناهمگن می‌باشد و با مطالعه صورت گرفته درباره گل قرمز کاملاً مطابقت دارد [۲۵]. تحقیقات مشابه ثابت کرده‌اند که ساختار ناهمگن باعث افزایش سطح تماس و افزایش میزان جذب ترکیب آلی می‌شود [۵].

یکی از مهمترین پارامترها جهت تناسب جاذب برای آزمایش جذب سطحی، سطح ویژه آن می‌باشد؛ در واقع به هر اندازه جذب سطحی بیشتر باشد، به همان میزان نیز جذب آلاینده بیشتر خواهد بود؛ دلیل این امر افزایش سطح تماس جاذب با آلاینده می‌باشد [۲۵]. نتایج حاصل از مطالعه نشان می‌دهد که سطح مؤثر گل قرمز برای جذب، ۳۰ متر مربع به ازای هر گرم است. قابل ذکر است که برای یک جاذب، این میزان سطح برای جذب خوب می‌باشد؛ این نتیجه با مطالعه شکوهی و ززولی در مورد گل قرمز مطابقت داشته است. ایشان میزان سطح مؤثر را ۳۲ متر مربع به ازای هر گرم بیان کرده‌اند [۲۱، ۳۵]؛ لیکن با مطالعه لی‌یو که سطح مؤثر جاذب را ۱۴ تا ۲۰ متر مربع به دست آورده اختلاف دارد [۲۰]؛ این اختلاف بین سطح جذب دو مطالعه، به نوع گل قرمز، ساختار و مکان برداشت جاذب مربوط می‌شود؛ به نحوی که بیشتر مطالعاتی که در کشورمان صورت گرفته، میزان سطح جذب را بین ۲۸ تا ۳۲ ذکر کرده‌اند [۲۱، ۳۶] ولی در مطالعات دیگر، سطح جذب گل قرمز بین ۱۰ تا ۵۵ متغیر می‌باشد [۱۵، ۲۰].

گل قرمز فعال شده با جاذب‌هایی مثل عدسک آبی و آزولا، دارای سطح ویژه برابر و دارای سطح ویژه بالاتری نسبت به پوست بادام و گردو می‌باشد [۳۷]. این جاذب به دلیل اندازه کوچک، سطح مقطع زیاد، شکل ناهمگن، واکنش پذیری بسیار زیاد و عملکرد قابل توجه به عنوان جاذب در حذف آلاینده‌های آلی از محلول‌های آبی شناخته می‌شود [۲۱]. گل قرمز معمولاً حاوی

یک واحد غلظت رنگ راندمان جذب، به اندازه ۰/۰۱۴ کاهش می‌یابد ($p \leq 0/001$).

تأثیر PH: تأثیر PH بر روی کارایی حذف رنگ در نمودار ۲ نشان داده شده است و همان گونه که مشاهده می‌شود با افزایش PH میزان جذب کاهش می‌یابد و راندمان حذف در PH اسیدی بیشتر می‌باشد. آنالیز داده‌ها با بهره‌گیری از رگرسیون خطی به طور معنی‌داری نشان می‌دهد که با افزایش یک واحد PH درصد به اندازه ۰/۰۲۹ کاهش می‌یابد ($p \leq 0/001$).

یرتأثیر دز جاذب: تأثیر غلظت اولیه جاذب بر روی کارایی حذف رنگ در نمودار ۳ نشان داده شده است و همانطوری که مشاهده می‌شود با افزایش مقدار جاذب درصد حذف رنگ نیز افزایش می‌یابد؛ به طوری که در غلظت ۲ گرم در لیتر، میزان حذف ۴۳ درصد بوده است؛ اما در غلظت ۱۲ گرم در لیتر میزان حذف بالای ۹۸ درصد می‌باشد؛ لیکن در غلظت‌های بالای ۱۲ گرم در لیتر میزان حذف به تعادل می‌رسد. با این که با افزایش مقدار جاذب میزان حذف نیز افزایش می‌یابد، ولی میزان رنگ جذب شده به ازای هر گرم جاذب (q_e) کاهش پیدا می‌کند. آنالیز داده‌ها با استفاده از رگرسیون خطی به طور معنی‌داری نشان می‌دهد که با افزایش یک واحد دز جاذب، درصد حذف به اندازه ۰/۰۲۴ افزایش می‌یابد ($p \leq 0/001$).

ایزوترم جذب: با توجه به اینکه زمان تماس بهینه جهت جاذب گل قرمز ۶۰ دقیقه می‌باشد، برای بررسی ایزوترم جذب، مدت زمان ۶۰ دقیقه انتخاب شد. برای انجام آزمایش ایزوترمی و سنتیکی، غلظت اولیه رنگ ۲۰ و ۴۰ میلی‌گرم در لیتر در $PH = 3$ در نظر گرفته شد. همان گونه که در جدول ۴ و ۵ مشاهده می‌شود، بهترین ایزوترم جهت جذب رنگ اسید اورنج ۷، لانگمیر و بهترین سنتیک برای تعیین سرعت واکنش، سنتیک واکنش درجه ۲ می‌باشد.

بحث و نتیجه‌گیری

درساله‌های اخیر، روش جذب سطحی ترکیبات آلی به شکلی

مواد باقیمانده زیادی از بوکسیت مثل: گوتیت (a-FeOOH) و بومیت (C- AlOOH) می باشد که به عنوان گروه عاملی عمل می کنند [۱۷]. رنگ های آزو دارای باند (N=N) است که جهت رنگ زدایی، مولکول های رنگ با الکترون هایی که گل قرمز آزاد کرده است شکسته می شود [۲۱].

در خصوص اثر زمان تماس، مطالعه ها نشان داده اند که جذب رنگ در مراحل اولیه زمان آزمایش، سریع و در نزدیکی حالت تعادل، کند می شود. مبرهن است که در مراحل اولیه، تعداد زیادی از مکان های سطحی خالی جهت جذب سطحی در دسترس است و با گذشت زمان، اشغال مکان های سطحی خالی باقی مانده مشکل می شود؛ زیرا بین مولکول های رنگی که روی سطح جامد جذب شده و مولکول هایی که در حالت محلول قرار دارند، دافعه به وجود می آید. در مطالعه ززولی و همکاران که در زمینه حذف رنگ راکتیو انجام شده است، زمان تماس بهینه ۶۰ دقیقه به دست آمده است که با پژوهش حاضر همخوانی دارد [۳۴]. در مطالعه حذف رنگ با جاذب های مختلف، می توان این گونه ارزیابی کرد که هر چه سطح ویژه جاذب بیشتر باشد، مکان در دسترس برای جذب بیشتر است؛ از این رو زمان تماس بهینه در مدت کمتری حاصل می شود و با کاهش سطح، به همان اندازه نیز رسیدن به زمان تعادل زمان بر خواهد بود [۳۸، ۳۴].

PH یک فاکتور اصلی در حذف آلاینده با روش جذب می باشد و می تواند در یونیزاسیون آلاینده ها و همچنین سطح جاذب تأثیر بگذارد. راندمان حذف در PH اسیدی بیشترین مقدار می باشد و با افزایش PH کاهش می یابد. طبق این نتایج به نظر می رسد که PH می تواند هم بر بار سطحی جاذب و هم بر میزان یونیزاسیون رنگ در آب تأثیر بگذارد. در PH های کمتر از ۳، سطح جاذب بار مثبت سطح جاذب را احاطه می کند و یک کشش اساسی با یون های آلاینده اتفاق می افتد؛ بنابراین مکانیسم واکنش سطحی کمپکسی بین بارهای مثبت جاذب و یون های منفی رنگ اتفاق می افتد. در حقیقت این امر توانایی رقابت بین یون های OH⁻ در

رنگ را با محل های در دسترس و فعال در سطح جاذب نشان می دهد [۲۱، ۲۵]. همچنین مطالعات قبلی نشان داده است که PH_{zpc} گل قرمز برابر با ۶ می باشد [۲۵] و در PH بالاتر از PH_{zpc}، بار الکتریکی غالب در سطح جاذب ها، به صورت بار منفی می باشد؛ با عنایت به این که بار سطحی رنگ اسید اورنج ۷ در PH بالاتر از ۶، منفی است، با افزایش PH تعداد بارهای منفی افزایش و نیروی جاذبه الکترواستاتیکی میان جاذب و آلاینده کاهش می یابد.

در غلظت های پایین رنگ، میزان حذف بیشتر است و با افزایش غلظت اولیه رنگ، کارایی حذف رنگ کاهش یافته که تقریباً میزان کاهش نیز از شیب ملایمی برخوردار بوده است. دلیل این امر این است که جاذب ها دارای محل های جذب محدودی هستند که با افزایش غلظت آلاینده، ظرفیت آنها سریعتر اشباع شده و راندمان حذف کاهش خواهد یافت. نتایج مطالعه حاضر با مطالعات وانگ و تور درباره حذف رنگ کاملاً همخوانی دارد [۳، ۱۵]. همچنین کاهش نسبت باقی مانده رنگ به غلظت اولیه رنگ، با افزایش غلظت اولیه رنگ را می توان به دلیل افزایش نیروی رانش در اثر افزایش غلظت اولیه رنگ دانست؛ زیرا بین مولکول های رنگ دافعه ایجاد شده و از جذب رنگ روی جاذب جلوگیری می شود [۵].

با توجه به نتایج حاصل از این مطالعه، با افزایش دز جاذب، ظرفیت جذب کاهش و راندمان حذف افزایش یافته است. دلیل افزایش راندمان حذف با افزایش دوز جاذب، بیشتر شدن محل های در دسترس جاذب برای رنگ موجود در محلول می باشد. با افزایش مقدار جاذب، محل های بیشتری در اختیار رنگ قرار گرفته که باعث جذب مقدار رنگ بیشتری می شود؛ اما با افزایش مقدار جاذب، نسبت ماده جذب شونده به ماده جاذب کاهش پیدا می کند؛ زیرا در این حالت غلظت ماده جذب شونده ثابت است، ولی مقدار جاذب افزایش می یابد و همین امر سبب کاهش ظرفیت جذب رنگ با افزایش دز جاذب می شود [۳۹، ۴۰].

با توجه به ضرایب همبستگی می توان نتیجه گرفت که داده های

سینتیک از نظر سرعت واکنش، درجه ۲ می‌باشد و بیشتر جاذب‌ها با کارایی بالا از این سینتیک پیروی می‌کنند. وقتی جذب سطحی با نفوذ از داخل یک لایه یا مرز اتفاق می‌افتد، در اغلب مواقع سینتیک از مرتبه اول و ایلوویج پیروی می‌کند و سینتیک مرحله دوم نشان می‌دهد که جذب شیمیایی مرحله کند کننده سرعت است و فرآیندهای جذب سطحی را کنترل می‌کند. بنابراین در مطالعه حاضر، محتمل است جذب شیمیایی همراه با جذب فیزیکی صورت گیرد و برخورد بین مولکول‌ها، تنها عامل جذب رنگ نمی‌باشد [۱۷].

بر اساس نتایج به دست آمده، گل قرمز می‌تواند به عنوان یک جاذب مؤثر، ارزان و در دسترس برای حذف رنگ اسید اورنج ۷ از پساب صنایع نساجی مورد استفاده قرار گیرد؛ میزان حذف به پارامترهایی مانند زمان تماس، PH، دز جاذب و همچنین غلظت اولیه رنگ بستگی دارد و با افزایش زمان، میزان حذف نیز افزایش می‌یابد. در واقع شرایط بهینه میزان حذف رنگ اسید اورنج ۷، ۹۸ درصد می‌باشد. همچنین بهترین ایزوترم و سرعت واکنش برای سیستم، ایزوترم لانگمیر و سنیک درجه ۲ می‌باشد.

قدردانی

بدین وسیله از کمیته تحقیقات دانشجویی و معاونت محترم تحقیقات و فناوری دانشگاه علوم پزشکی مازندران که در تأمین مالی این طرح نقش داشتند، تشکر و قدردانی می‌گردد.

References

1. Tan C-y, Li M, Lin Y-M, Lu X-Q, Chen Z-l. Biosorption of Basic Orange from aqueous solution onto dried *A. filiculoides* biomass: Equilibrium, kinetic and FTIR studies. *Desalination* 2009; 266(1-3):56-62.
2. Ghaneian M, Ehrampoush MH, Ghanizadeh G, Momtaz M. Study of eggshell performance as a natural sorbent for the Removal of Reactive Red 198 dye from aqueous solution. *College Health Yazd* 2011;10(1):70-81.

3. Toor M, Jin B. Adsorption characteristics, isotherm, kinetics, and diffusion of modified natural bentonite for removing diazo dye. *Chemical Engineering* 2011; 187:79-88.
4. Mahvi AH, Heibati B. Removal efficiency of azo dyes from textile effluent using activated carbon made from walnut wood and determination of isotherms of Acid Red18. *Ardabil Health Med J* 2009; 1(3):7-15.
5. Zazouli MA, Balarak D, Mahdavi Y. Effect of *Azolla filiculoides* on Removal Reactive Red 198 in aqueous solution. *J adv Environ Health Res* 2013; 1(1):44-50.
6. Naddafi K, Nabizadeh Nodehi R, Jahangiri Rad M. Removal of Reactive Blue 29 dye from water by single-wall carbon nanotubes. *IJHE* 2011; 3(4):359-368.
7. Li Q, Yue QY, Sun HJ, Su Y, Gao BY. A comparative study on the properties, mechanisms and process designs for the adsorption of non-ionic or anionic dyes onto Cationic-Polymer/Bentonite. *J Environ Manage* 2010; 91(7):1601-1611.
8. Balarak D, Pirdadeh F, Mahdavi Y. Biosorption of acid rRed 88 dyes using dried *Lemna minor* biomass. *J Sci Tech Enviro Inform* 2015; 1(2):81-90.
9. Shokohi R, Samarghandi MR, Pourfarzi F, Siboni MS, Vahedi H. Removal of Reactive Black 5 (rb5) dye from aquatic solution by using of adsorption onto synthesized sodiumalginate magnetic beads. *IJHE* 2011; 4(1):1-10.
10. Nateghi R, Bonyadinejad GR, Amin MM, Asadi A. Nickel oxide nanoparticles application as an efficient adsorbent for dye removal from synthetic wastewater treatment. *Health Sys Res J* 2010; 6:1015-1021.
11. Ghanizadeh Gh, Asgari Gh. Removal of methylene blue dye from synthetic wastewater with bone char. *Iran J Health & Environ* 2009; 2(2):104-113.
12. Gok O, Ozcan AS, Ozcan A. Adsorption behavior of a textile dye of Reactive Blue 19 from aqueous solutions onto modified bentonite. *Appl Sur Sci* 2010; 256(17):5439-5443.
13. Hoseinzadeh E, Rahmani AR. Producing activated carbon from scrap tires by thermo-chemical method and evaluation its efficiency at removal racid black dye. *Iran J Health & Environ* 2012; 4(4):428-438.
14. Joghatayi A, Mahdavi Y, Balarak D. Biosorption of reactive blue 59 dyes using dried *Azolla filiculoides* biomass. *Schol J Engin & Tech* 2015; 3(3B):311-318.
15. Wang Sh, Boyjoo Y, Choueib A, Zhu ZH. Removal of dyes from aqueous solution using fly ash and red mud. *Water Res* 2005; 39(1):129-138.
16. Vafaei F, Khataee AR, Movafeghi A, Salehi Lisar SY, Zarei M. Bioremoval of an azo dye by *Azolla filiculoides*: Study of growth, photosynthetic pigments and antioxidant enzymes status. *Intern Biodeterioration and Biodegradation* 2010; 75(2):194-200.
17. Wang Sh, Ang HM, Tadé MO. Novel applications of red mud as coagulant, adsorbent and catalyst for environmentally benign processes. *Chemosphere* 2008; 72(11):1621-1635.
18. Brunori C, Cremisini C, Massanisso P, Pinto V, Torricelli T. Reuse of a treated red mud bauxite waste: studies on environmental compatibility. *J Hazard Mater* 2005; 117(1):55-63.
19. Huang W, Wang S, Zhu Z, Li L, Yao X, Rudolph V, Haghseresht F, et al. Phosphate removal from wastewater using red mud. *J Hazard Mater* 2008; 158(1):35-42.
20. Liu Y, Naidu R, Ming H. Red mud as an amendment for pollutants in solid and liquid phases. *Geoderma* 2011; 163(1-2):1-12.
21. Zazouli MA, Balarak D, Mahdavi Y, Ebrahimi M. Adsorption rate of 198 Reactive Red dye from aqueous solutions by using activated red mud. *Iran J Health Sci* 2013; 1(1):36-43.
22. Cengeloglu Y, Tor A, Arslan G, Ersoz M, Gezgin S. Removal of boron from aqueous solution by using neutralized red mud. *J Hazard Mater* 2007; 142(1-2):412-417.
23. Smiciklas I, Smiljanic S, Perić-Grujić A, Šljivić-Ivanović M, Antonović D. The influence of citrate anion on Ni(II) removal by raw red mud from aluminum industry. *Chem Engineer J* 2010; 214:327-335.
24. Tor A, Cengeloglu Y. Removal of Congo Red from aqueous solution by adsorption onto acid activated red mud. *J Hazard Mater* 2006; 138(2):409-415.
25. Zazouli MA, Balarak D, Mahdavi Y, Barafrashtehpour M, Ebrahimi M. Adsorption of bisphenol from industrial wastewater by modified red mud. *J Health & Develop* 2013; 2(1):1-11.

26. Bhatti HN, Akhtar N, Saleem N. Adsorptive removal of methylene blue by low cost *Citrus sinensis* bagasse: equilibrium, kinetic and thermodynamic characterization. *Arabian J Sci Engineer* 2012; 37(1):9-18.
27. Yuan Y, Li H, Lai B, Yang P, Gou M, Zhou Y, et al. Removal of high-concentration C.I. acid orange 7 from aqueous solution by zerovalent iron/copper (Fe/Cu) bimetallic particles. *Ind Eng Chem Res* 2014; 53(7):2605-2613.
28. Safa Y, Bhatti, HN. Kinetic and thermodynamic modeling for the removal of Direct Red 31 and Direct Orang-26 dyes from aqueous solutions by rice husk. *Desalination* 2011; 272(1-3):313-322.
29. Zazouli MA, Balarak D, Karimnezhad F, Khosravi F. Removal of fluoride from aqueous solution by using of adsorption onto modified *lemna minor*: Adsorption isotherm and kinetics study. *J Mazandaran Univ Med Sci* 2013; 23(109):195-204.
30. Zazouli MA, Yazdani J, Balarak D, Ebrahimi M, Mahdavi Y. Removal Acid Blue 113 from Aqueous Solution by canola. *J Mazandaran Univ Med Sci* 2013; 23(2):73-81.
31. Diyanati RA, Yousefi Z, Cherati JY, Balarak D. Adsorption of phenol by modified *azolla* from Aqueous Solution. *J Mazandaran Univ Med Sci* 2013; 22(2):13-21.
32. Mahmoodi NM, Hayati B, Arami M, Lan Ch. Adsorption of textile dyes on pine cone from colored wastewater: kinetic, equilibrium and thermodynamic studies. *Desalination* 2011; 268(1-3):117-125.
33. Zazouli MA, Balarak D, Mahdavi Y. Application of *Azolla Filiculoides* biomass for 2-Chlorophenol and 4-Chlorophenol Removal from aqueous solutions. *Iran J Health Sci* 2013; 1(2):43-55.
34. Zazouli MA, Balarak D, Mahdavi Y. Application of *azolla* for 2, 4, 6-trichlorophenol (TCP) removal from aqueous solutions. *Hygiene Sciences* 2013; 2(4):17-24.
35. Shokohi R, Jafari SJ, Saidi S, Ghamar N, Siboni M. Removal dye Acid Blue 113(AB113) dye from aqueous environment by adsorption on Activated Red mud. *Kordestan Univ Med Sci J* 2011; 16(2):55-65.
36. Balarak D, Yousef Mahdavi Y, Shahram Sadeghi SH. Adsorptive removal of Acid Red 18 dye (AR18) from aqueous solutions by Redmud: Characteristics, isotherm and kinetic studies. *Schol Acad J Biosci* 2015; 3(8):644-649.
37. Diyanati-Tilaki RA, Yousefi Z, Yazdani-Cherati JY, Balarak D. The ability of *Azolla* and *lemna minor* biomass for adsorption of phenol from aqueous solutions. *J Mazandaran Univ Med Sci* 2013; 23(106):141-146.
38. Khorramfar S, Mahmoodi NM, Arami M, Gharanjig K. Dye removal from colored textile wastewater using *tamarindus indica* hull: Adsorption isotherm and kinetics study. *J Color Sci Tech* 2009; 3(2):81-88 (Persian).
39. dos Santos AB, Cervantes FJ, van Lier JB. Review paper on current technologies for decolourisation of textile wastewaters: Perspectives for anaerobic biotechnology. *Bioresour Technol* 2007; 98(12):2369-2385.
40. Ghaneian MT, Dehviri M, Taghavi M, Amrollahi M, Jamshidi B. Application of pomegranate seed powder in the removal of Reactive Red 198 dye from aqueous solutions. *Jundishapur J Health Sci* 2012; 4(3):45-55.
41. Jaafari SJ, Shokouhi R, Hoseinzadeh E, Taghavi M, Arezoumandi R, Ahadi H. Removal of Reactive Black 5 (RB5) dye from aqueous solution by using of adsorption onto Activated Red mud: kinetic and equilibrium study. *Jundishapur J Health Sci* 2012; 4(1):58-67.